

## **К оценке точности результатов численного моделирования в проблемах формовки оболочек из листовых металлов**

к.т.н. доц. Михайлова В.Л., к.т.н. доц. Петров В.К., д.т.н. проф. Сухомлинов Л.Г.

Университет машиностроения

8(495)223-05-23, доб. 1318

*Аннотация.* Излагаются результаты применения осесимметричной жесткопластической безмоментной конечноэлементной модели к исследованию процесса формовки сферическим пуансоном и процесса гидровыпучивания в матрицу с плоским дном. Результаты численного моделирования сравниваются с экспериментальными данными.

*Ключевые слова:* осесимметричная жесткопластическая безмоментная конечноэлементная модель, формовка сферическим пуансоном, гидровыпучивание в матрицу

Компьютерное моделирование с использованием программных конечноэлементных комплексов к настоящему времени прочно вошло в исследовательскую практику специалистов, занимающихся проблемами формоизменения листовых металлов. Точность получаемых при этом числовых результатов по напряженно-деформированному состоянию металлического листа в исследуемом процессе формоизменения существенным образом зависит от таких методических параметров используемой вычислительной модели, как размер ячейки выбранной конечноэлементной сетки и размер шага интегрирования по параметру процесса нагружения. Оценка степени точности результатов численного моделирования обычно осуществляется путем сравнения с экспериментом. Некоторое расхождение расчетных и экспериментальных результатов при этом зачастую объясняют (как отмечено в статье [1]) не погрешностями вычислений, а неполной достоверностью принятого значения коэффициента трения. Уточнение в такой ситуации значения коэффициента трения с целью сблизить расчетные и экспериментальные результаты приводит к тому, что коэффициент трения в определенной степени приобретает черты методического параметра выбранной дискретной модели. Ясно, что для получения реального значения коэффициента трения на основе сравнения расчетных и экспериментальных результатов соответствующее численное решение должно обладать достаточно высокой точностью. В настоящем сообщении моделирование с такой точностью достигается за счет принятия достаточно мелкой сетки и достаточно малого шага интегрирования по параметру нагружения.

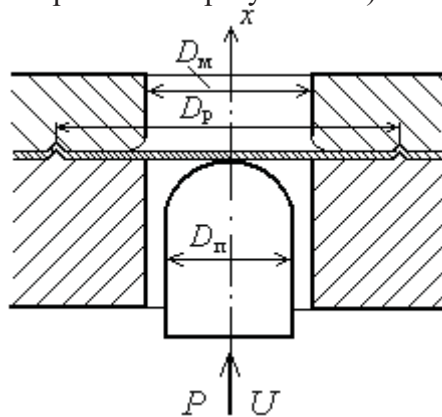
Основные положения используемой вычислительной модели состоят в следующем [1]. Исходим из предположения, что формуемая из листового металла под действием давления рабочей жидкости и жестких инструментов осесимметричная оболочка относится к классу тонких безмоментных оболочек. Упругими деформациями на фоне больших пластических деформаций пренебрегаем, считая материал оболочки жесткопластическим. Используем предложенный Р. Хиллом вариант теории течения (квадратичный критерий текучести) для трансверсально изотропного материала с изотропным упрочнением. Считаем, что взаимодействие оболочки с инструментом осуществляется в соответствии с кулоновским законом трения. Меридиан срединной поверхности рассматриваемой оболочки в ее исходном недеформированном состоянии разбиваем на такое количество  $N$  участков малых размеров, чтобы в течение всего процесса деформирования допустимо было бы пренебрегать их кривизной, считая эти участки прямолинейными. Процесс формоизменения подобной безмоментной оболочечной модели, состоящей из указанных  $N$  элементарных оболочек с прямолинейными образующими, рассматриваем как пошаговый, при котором переход из известного состояния в момент времени  $t$  в новое состояние, относящееся к моменту времени  $t + \Delta t$ , осуществляется с малыми приращениями деформаций. На указанном малом временном интервале  $\Delta t$  (шаге нагружения) формулировку задачи для принятой дискретной модели оболочки выполняем в терминах узловых перемещений с учетом изменения конфигурации оболочки за время  $\Delta t$ . При этом используем цилиндрическую систему координат  $(x, r, \varphi)$ .

Решение сформулированной физически и геометрически нелинейной контактной задачи для дискретной модели оболочки на шаге нагружения сводим посредством итерационной процедуры к решению последовательности линейных задач. При этом линейризацию исходной нелинейной системы уравнений на шаге нагружения в рамках такой процедуры осуществляем с использованием методов Ньютона и переменных параметров. Итерационные уточнения выполняем до достижения заданной относительной точности ( $\delta_{от}$ ) по перемещениям. Решение соответствующей системы линейных алгебраических уравнений проводим по методу Гаусса.

Обсудим теперь результаты применения изложенной вычислительной модели к исследованию по определению значения коэффициента трения в операции формовки сферическим пуансоном заготовки из листовой стали 08КП толщиной  $h = 0,75$  мм [2]. Установленные из испытаний на одноосное растяжение коэффициент нормальной анизотропии и кривая упрочнения данного материала имеют вид  $R = 1,26$  и  $\sigma = A\bar{\varepsilon}^n$  (где  $A = 541$  МПа,  $n = 0,22$ ). Эксперименты по формовке производились с использованием пуансона диаметром  $D_{п} = 60$  мм и матрицы, диаметр отверстия которой составлял величину  $D_{м} = 72$  мм, а радиус скругления рабочей кромки – величину  $r_{м} = 3$  мм (рисунок 1). Фланец круглой заготовки из исследуемого материала удерживался от перемещений в процессе формовки прижимным кольцом с рифтом диаметром  $D_{р} = 110$  мм.

В качестве параметра нагружения в вычислительной модели рассматриваемого процесса формовки принималось перемещение  $U$  пуансона. На каждом шаге нагружения значение этого параметра увеличивалось на заданную малую величину  $\Delta U$ .

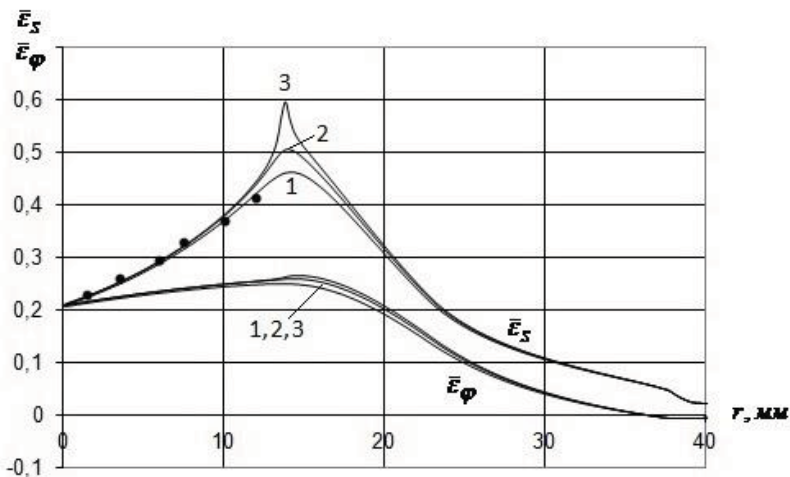
В процессе тестовых расчетов были выбраны такие значения методических параметров ( $N = 220$ ,  $\Delta U = 0,5 D_{п} / 3600$  и  $\delta_{от} = 0,001$ ), которые заведомо обеспечивают достаточно высокую точность получаемого численного решения (имеется в виду, что дальнейшее двукратное увеличение параметра  $N$  и двукратное уменьшение параметра  $\Delta U$  не приводит к сколько-нибудь заметному изменению расчетных результатов).



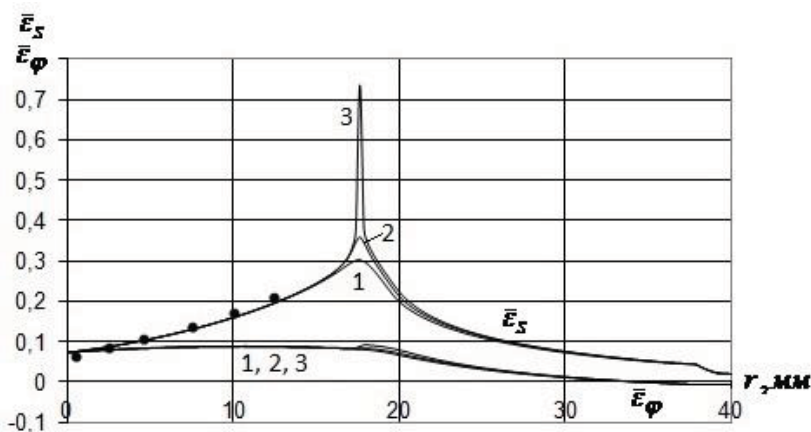
**Рисунок 1. Схема формовки сферическим пуансоном**

На рисунке 2, 3 дано сопоставление расчетных и (обозначенных точками) экспериментальных результатов по полной картине распределения деформаций (на момент разрыва оболочки) в зоне контакта оболочки с пуансоном применительно к случаям покрытия его поверхности полиэтиленовой пленкой и минеральным маслом. Здесь  $\bar{\varepsilon}_s$  и  $\bar{\varepsilon}_\phi$  – логарифмические деформации оболочки в меридиональном и окружном направлениях. Цифрами 1, 2, 3 помечены расчетные результаты, полученные при значениях перемещения  $U$  [мм] пуансона вида (27,8; 28,4; 28,8) в случае  $\mu = 0,14$  (рисунок 2) и вида (20,0; 20,4; 20,8) в случае  $\mu = 0,3$  (рисунок 3). Из указанных рисунков видно, что результаты, помеченные цифрой 1, соответствуют моменту достижения формуемой оболочкой предельного состояния, поскольку дальнейшее незначительное продвижение пуансона (варианты 2 и 3) приводит к локализации де-

формации. Об этом можно судить по наблюдаемому катастрофическому росту пиков кривых распределения деформаций  $\bar{\varepsilon}_s$  с одновременным прекращением роста деформаций в зоне контакта формируемой оболочки с пуансоном. Практическое совпадение представленных результатов численного моделирования и эксперимента дает основание заключить, что коэффициент трения в данной ситуации оценивается величиной 0,14 в случае полиэтиленовой пленки и величиной 0,3 в случае минерального масла.

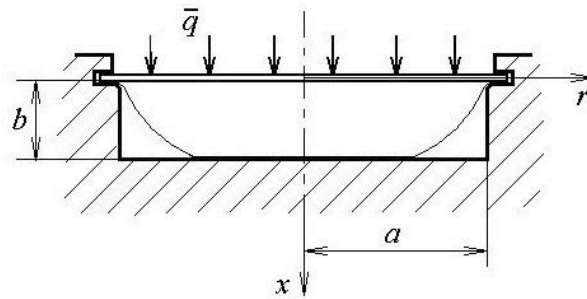


**Рисунок 2. Распределение деформаций вдоль радиуса заготовки к моменту разрыва формируемой оболочки в случае нанесения полиэтиленовой пленки на поверхность пуансона**



**Рисунок 3. Распределение деформаций вдоль радиуса заготовки к моменту разрыва формируемой оболочки в случае нанесения минерального масла на поверхность пуансона**

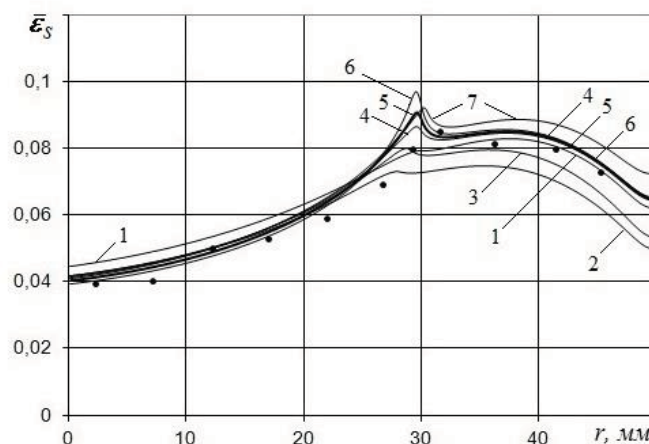
Перейдем теперь к изложению результатов расчетных исследований применительно к процессу гидроформовки. На рисунке 4 изображена схема гидровыпучивания (под действием давления  $q$ ) круговой заготовки из тонкого алюминиевого листа (толщиной  $h = 0,31\text{ мм}$ ) в цилиндрическую матрицу (радиусом  $a = 50\text{ мм}$ ) с плоским дном. Периферийная зона заготовки жестко закреплена. Соответствующие экспериментальные результаты представлены в работе [3]. С учетом малости радиуса скругления рабочей кромки матрицы (составляющего величину порядка  $2\text{ мм}$ ) моделирование осуществляем применительно к случаю круговой заготовки, закрепленной по контуру радиуса  $a = 50\text{ мм}$ . Рассматриваемый листовый алюминий представляет собой изотропный материал ( $R = 1$ ) с кривой упрочнения вида  $\sigma = A\bar{\varepsilon}^n$  (где  $A = 156,4\text{ МПа}$ ,  $n = 0,29$ ). Значение коэффициента трения ( $\mu = 0,3$ ) в зоне контакта формируемого листа с пластиной, представляющей собой дно матрицы, было оценено в испытаниях с протягиванием по поверхности указанной пластины образцов из исследуемого листового алюминия, прижимаемых к пластине заданной вертикальной нагрузкой.



**Рисунок 4. Схема гидровыпучивания круговой заготовки из тонкого алюминиевого листа в матрицу с плоским дном**

При численном моделировании в качестве параметра нагружения принималось давление  $q$ , изменяемое с шагом  $\Delta q = 0,001 \text{ МПа}$ . С учетом предыдущего исследования было принято  $N = 200$  и  $\delta_{\text{от}} = 0,001$ .

На рисунке 5 представлены относящиеся к случаю  $b = 10 \text{ мм}$  расчетные (сплошные кривые) и экспериментальные (точки) результаты по распределению меридиональной логарифмической деформации  $\bar{\epsilon}_s$  вдоль радиуса  $r$  рассматриваемой круговой заготовки при  $q = 1,38 \text{ МПа}$ . Кривые, помеченные цифрами 1, 2, 3, 4, 5, 6, 7, соответствуют вариантам расчетов с выбором значений параметров  $\mu$ ,  $A$  [МПа],  $n$  в виде (0,3; 156,4; 0,29), (0,4; 170,0; 0,25), (0,4; 156,4; 0,25), (0,4; 156,4; 0,29), (0,43; 156,4; 0,29), (0,47; 156,4; 0,29), (0,4; 156,4; 0,32). Видно, что задание коэффициента трения в виде  $\mu = 0,3$  (в соответствии с оценкой, данной в работе [3]) приводит к заметно завышенным по сравнению с экспериментом значениям деформаций исследуемой оболочки в зоне ее контакта с дном матрицы. К более реалистичной картине в этом плане приводят значения  $\mu$  порядка 0,4. Отмечаем также, что изменение значений параметров  $A$  и  $n$  кривой упрочнения рассматриваемого листового алюминия в ту или иную сторону относительно значений  $A = 156,4 \text{ МПа}$  и  $n = 0,29$  (установленных в испытаниях на одноосное растяжение) ведет к заметному отклонению расчетных результатов от эксперимента. Исходя из этого приходим к заключению, что в данном случае  $\mu = 0,43$ ,  $A = 156,4 \text{ МПа}$ ,  $n = 0,29$ .



**Рисунок 5. Графики распределения меридиональной логарифмической деформации вдоль радиуса рассматриваемой круговой заготовки при различных значениях параметров  $\mu$ ,  $A$ ,  $n$  в случае  $b = 10 \text{ мм}$  и  $q = 1,38 \text{ МПа}$**

В качестве общего вывода отметим, что представленные (и подтвержденные сравнением с экспериментом) результаты расчетных исследований позволили продемонстрировать возможности применения осесимметричной жесткопластической безмоментной конечноэлементной модели в проблемах формоизменения листовых металлов.

### Литература

1. Sukhomlinov L.G., Engelsberg V.K., Davydov V.N. A finite element membrane model for the analysis of axisymmetric sheet metal forming processes // Int. J. Mech. Sci. 1992. V. 34. N 3. P. 179-193.
2. Петров В.К., Михайлова В.Л., Сухомлинов Л.Г. Применение осесимметричной жестко-пластической безмоментной конечноэлементной модели для определения коэффициентов трения в процессах формоизменения // Известия МГТУ «МАМИ». 2012. №2(14), т. 2. С. 150-158.
3. Nakamachi E., Takezono S., Sowerby R. A numerical analysis of the hydraulic bulging of circular disks into axisymmetric dies // Trans.ASME. J.Appl.Mech. 1982. V. 49. N 3. P. 501-506.

### **Предельные возможности операции ротационной вытяжки осесимметричных деталей из анизотропных материалов**

д.т.н. проф. Яковлев С.С., д.т.н. проф. Трегубов В.И., Осипова Е.В.  
ФГБОУ ВПО «Тульский государственный университет»  
8 (4872) 35-14-82, mpf-tula@rambler.ru

*Аннотация.* Показано влияние технологических параметров на предельные возможности формоизменения по различным критериям разрушения операции ротационной вытяжки с утонением стенки анизотропного материала.

*Ключевые слова:* ротационная вытяжка, анизотропия, деформация, разрушение, повреждаемость, напряжение, ролик подача, степень деформации.

При изготовлении тонкостенных цилиндрических деталей в настоящее время нашли широкое применение методы обработки давлением с созданием локального очага деформации. Одним из таких методов является ротационная вытяжка (РВ). Теоретическое изучение процесса РВ с утонением осложняется наличием локальной деформации и объемным характером напряженно-деформированного состояния материала в пластической области. Надежность и эффективность технологических процессов ротационной вытяжки обеспечиваются правильным выбором технологических параметров [1-3].

В работе [4] изложена математическая модель формоизменения трубной заготовки при ротационной вытяжке на специализированном оборудовании тонкостенных цилиндрических деталей с утонением стенки коническими роликами с учетом локального очага деформации и фактической подачи  $S_{\phi}$  металла в очаг деформации (рисунок 1). В отличие от известных подходов к анализу кинематики течения материала в очаге пластической деформации в работе принято, что процесс реализуется в условиях квазиплоской деформации, т.е. рассматривается течение материала в плоскости, перпендикулярной оси  $z$ , и учитываются соответствующие величины касательных напряжений.

Рассмотрен вопрос о распределении скоростей течения материала в очаге деформации при установившемся деформировании. Предложены выражения для оценки радиальной, тангенциальной и осевой составляющих скоростей течения материала в локальном очаге пластической деформации. В дальнейшем вычисляются компоненты скоростей деформаций по известным скоростям течения материала в цилиндрической системе координат.

Используя уравнение равновесия в цилиндрической системе координат и уравнение пластического течения, устанавливающие связи между напряжениями и скоростями деформаций, после подстановки последних в уравнения равновесия получена система уравнений для определения среднего напряжения. Записав уравнения равновесия в виде конечных разностей и разрешив каждое из них относительно среднего напряжения, получим выражения для определения величины среднего напряжения  $\sigma$ .

Известно, что на границе входа материала в очаг пластической деформации величина осевого напряжения равна нулю, т.е.  $\sigma_z = 0$ . Это условие позволяет определить распределе-